

Large Eddy Simulation における Leonard 項の役割

On the role of Leonard term in Large Eddy Simulation

堀 内 潔*

Kiyosi HORIUTI

1. Leonard 項

3次元乱流場の直接数値シミュレーションには、 $Re^{4/9}$ (ここに、 Re はレイノルズ数を表す)個のオーダーの格子点が必要なことはよく知られている。この困難を克服するために、Large Eddy Simulation (以下 LES) では、filtering というアイデアが導入されている¹⁾。これは、元の変数 $f(\underline{x})$ に対し、計算に用いる格子間隔と、同オーダーのスケールの filter をかけた変数 $\bar{f}(\underline{x})$ を、関数 $G(\underline{x})$ との convolution から、

$$\bar{f}(\underline{x}) = \int G(\underline{x} - \underline{x}') f(\underline{x}') dx \quad (1)$$

と定義するもので、実際の数値計算では \bar{f} のみを直接取り扱う。一般に、 \bar{f} を Grid Scale(GS) の変数と呼ぶ。更に、Sub Grid Scale(SGS) の変数 f' を、次のように定義する。

$$f'(\underline{x}) = f(\underline{x}) - \bar{f}(\underline{x}) \quad (2)$$

ここでは、非圧縮の流れ場を考えるので、基礎方程式は、Navier-Stokes、および、連続の方程式である。

$$\frac{\partial u_i}{\partial t} + \frac{\partial}{\partial x_j} (u_i u_j) = -\frac{\partial p}{\partial x_i} + \frac{1}{Re} \Delta u_i \quad (3)$$

$$\frac{\partial u_i}{\partial x_i} = 0 \quad (4)$$

(3) および (4) 式に、(1) の filter をかけると、次式を得る。

$$\frac{\partial \bar{u}_i}{\partial t} + \frac{\partial}{\partial x_j} (\bar{u}_i \bar{u}_j) = -\frac{\partial \bar{p}}{\partial x_i} + \frac{1}{Re} \Delta \bar{u}_i \quad (5)$$

$$\frac{\partial \bar{u}_i}{\partial x_i} = 0 \quad (6)$$

ここで、(5) 式の非線形項の $\overline{u_i u_j}$ は、次のように書き下せる。

$$\overline{u_i u_j} = \overline{\bar{u}_i \bar{u}_j} + \overline{\bar{u}_i u'_j} + \overline{u'_i \bar{u}_j} + \overline{u'_i u'_j} \quad (7)$$

右辺の4項のうち、第2、3項は、その影響は小さいと考えられるので、一般には、無視されている。更に、第4項は、SGS の Reynolds stress と呼ばれ、LES では、次式のような eddy viscosity K を用いて近似される。

$$\overline{u'_i u'_j} - \frac{2}{3} \delta_{ij} K_G = -K \left(\frac{\partial \bar{u}_i}{\partial x_j} + \frac{\partial \bar{u}_j}{\partial x_i} \right) \quad (8)$$

ここに、 K_G は、SGS の乱流エネルギー $\overline{u'_i u'_i} / 2$ である²⁾。

ところで、初項については、 $\overline{\bar{u}_i \bar{u}_j} = \bar{u}_i \bar{u}_j$ という関係は、filter の種類によっては、必ずしも成り立たず、そのために、Leonard 項と呼ばれる項が生じる¹⁾。

たとえば、 $G(\underline{x})$ として、Gaussian 形：

$$G(\underline{x}) = \sqrt{\frac{\pi}{6}} \frac{1}{\Delta_a} \exp\left(-\frac{6x^2}{\Delta_a^2}\right) \quad (9)$$

を用いる。ここに、 Δ_a は特性的な格子間隔である。

(9) は、フーリエ空間では、

$$\tilde{G}(k) = \exp\left(-\frac{\Delta_a^2 k^2}{24}\right) \quad (10)$$

となる。(1)において、(9)を用い、Taylor 展開を使って評価すると、(1) 式の $\bar{f}(\underline{x})$ は、次のようになる。

$$\bar{f}(\underline{x}) = f(\underline{x}) + c \Delta_a^2 \frac{\partial}{\partial x_k} \frac{\partial}{\partial x_k} f(\underline{x}) + \dots \quad (11)$$

ここに、定数 c は、2次モーメントである。したがって、

$$\frac{\partial}{\partial x_j} (\bar{u}_i \bar{u}_j - \bar{u}_i \bar{u}_j) = \frac{\partial}{\partial x_j} \left[c \Delta_a^2 \frac{\partial}{\partial x_k} \frac{\partial}{\partial x_k} (\bar{u}_i \bar{u}_j) \right] + \dots \quad (12)$$

という評価ができる。

ここで、具体的な流れ場として、平行平板間の乱流場を考える。境界条件としては、下流および横断方向には周期境界条件を、壁では粘着の条件を課す。また、下流、横断、および壁に垂直な方向の、座標、速度成分を、おのおの、 $x, y, z, \bar{u}, \bar{v}, \bar{w}$ で表す。このとき、GS の乱流エネルギー $\Gamma = \langle \bar{u}_i'' \bar{u}_i'' \rangle / 2$ (ここに、 $\langle \rangle$ は x, y 方向の平均、もしくは、アンサンブル・アベレージを表し、 $\bar{u}_i'' = \bar{u}_i - \langle \bar{u}_i \rangle$ とする) のバランスは、次式で与えられる。

$$\begin{aligned} \frac{\partial \Gamma}{\partial t} = & -\frac{\partial}{\partial z} \langle \bar{w} \Gamma \rangle - \langle \bar{u}'' \bar{w} \rangle \frac{\partial \langle \bar{u} \rangle}{\partial z} \\ & - \left\langle \left(K + \frac{1}{Re} \right) \frac{\partial \bar{u}_i''}{\partial x_j} \frac{\partial \bar{u}_j''}{\partial x_i} \right\rangle - \langle \bar{u}_i'' \frac{\partial \bar{p}}{\partial x_i} \rangle \\ & + \frac{\partial}{\partial z} \left\langle \left(K + \frac{1}{Re} \right) \frac{\partial \Gamma}{\partial z} \right\rangle - \langle \bar{u}_i'' \frac{\partial}{\partial x_j} (\bar{u}_i \bar{u}_j - \bar{u}_i \bar{u}_j) \rangle \end{aligned} \quad (13)$$

* 東京大学生産技術研究所 第1部

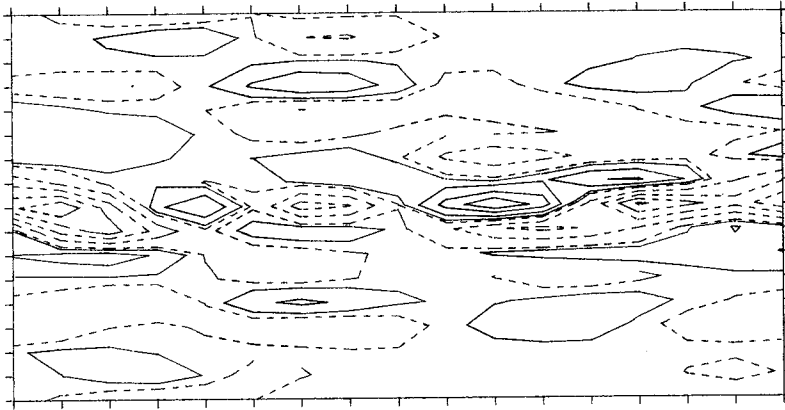


図1 Case 1 の Cascade 項 $i=1$ 成分の $t=22.0$ における $x-y$ 平面内空間分布, $z=0.045$ で, 横軸は x 方向, 縦軸は y 方向

右辺の各項は, 順に, velocity transport, production, dissipation, pressure transport, viscous diffusion, cascade と呼ばれる。

(12) の評価により, (13) の cascade 項中には, たとえば, $-\langle \bar{u}\bar{u}\bar{u}_{xxx} \rangle$ という項を得るが, 周期境界条件の下では, これは, $-\langle \bar{u}_x^3 \rangle$ と変形される。この量は, ω_i を i 方向の渦度としたとき, $\langle \omega_i^3 \rangle$ のバランス中では, 渦の伸長を表す項として現れ, Skewness と呼ばれている量で, 正の値を持つことが知られている。

2. 離散化との関係

本節では, 数値計算における離散化の結果生じる誤差項と Leonard 項との関係を調べる。

(5) 式 の非線形項を, 保存形の中心差分で近似すると次のような誤差評価が得られる(簡単のため, 2 次元で考え, 各変数の上ツキのバーは省略する)。

$$\begin{aligned} \frac{\partial}{\partial x}(uu) &\approx \frac{1}{2\Delta x}(u_{i+1,j}u_{i+1,j} - u_{i-1,j}u_{i-1,j}) \\ &\approx 2uu_x + (\Delta x)^2 \left\{ \frac{2}{3!} \frac{uu_{xxx}}{\Delta x} + \frac{u_x u_{xx}}{\Delta x} \right\} + \dots \\ \frac{\partial}{\partial y}(uv) &\approx \frac{1}{2\Delta y}(u_{i,j+1}v_{i,j+1} - u_{i,j-1}v_{i,j-1}) \\ &\approx uv_y + vu_y + (\Delta y)^2 \left\{ \frac{1}{3!} \frac{uv_{yyy}}{\Delta y} + \frac{1}{3!} v u_{yyy} \right. \\ &\quad \left. + u_y v_{yy} + v_y u_{yy} \right\} + \dots \end{aligned} \tag{14}$$

(14) 式 の右辺を見ると, 1 節の (12) 式に相当する項が含まれていることがわかる。更に, 右辺の主要な項(下線を付した項)を, 連続の方程式と周期境界条件のもと変形すると, $\Delta x = \Delta y$ のとき, エネルギー・バランスの式中では, $\frac{2}{3} \langle (u_x)^3 \rangle$ という項が得られ, 1 節で述べた Skewness と関係づけられることがわかる。一般に,

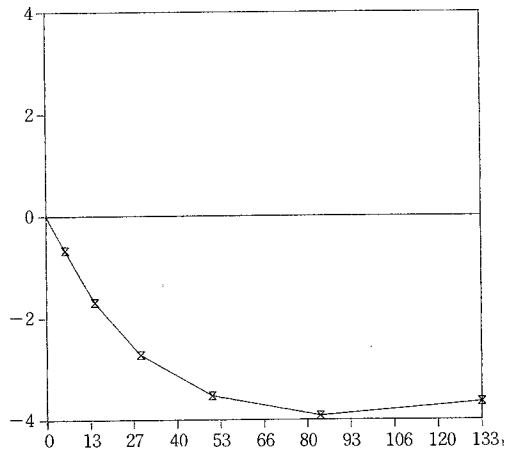
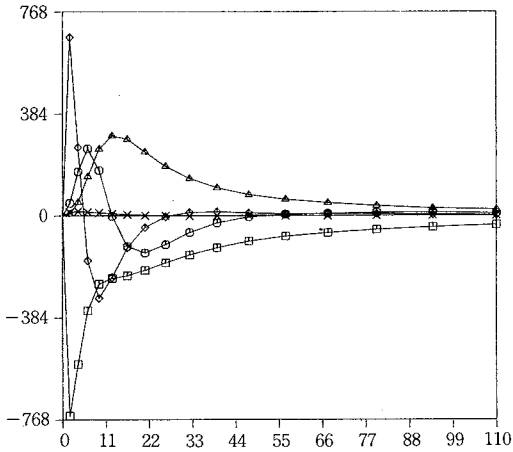


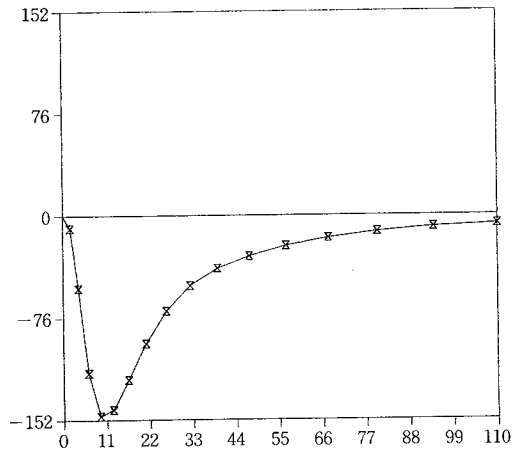
図2 Case 1 のアンサンブル・アベリジをとった Cascade 項の z 方向分布 横軸は z 軸, 目盛は, 壁座標

Skewness は正の値を持つため, この誤差項は負の値をもち, dissipation として効いている。

ところで, B. P. Leonard⁹⁾ は, passive scalar の移流方程式に基づいた議論から, 中心差分のもつ 3 階微分の dispersion のため, 計算の安定化が図れないと結論し, Quick scheme の一次元版を提唱したが, 非線形性を考慮すれば, 上記のように, エネルギーの dissipation として働くことがわかり, この意味では, B. P. Leonard の指摘は当たっていない。さらに, Quick scheme のようなスキームを用いた場合, その smoothing に相当する操作により, GS でエネルギーを dissipate しすぎるため, 微細構造までとらえられる正確なシミュレーションは期待できない。また, 打ち切り誤差を利用しているため, dissipation の正確な量的把握が難しく, 精度の高いシミュレ



(a)



(b)

図 3(a) Case 2 の GS エネルギー・バランス。横軸は z 軸、各記号は、(13) 式中の Δ PRODUCTION, \circ VELOCITY TRANSPORT, \times PRESSURE TRANSPORT, \diamond VISCOUS DIFFUSION, \square DISSIPATION, \times CASCADE に対応する
 図 3(b) Case 2 の Cascade 項の z 方向分布

ーションには不向きといわざるをえない。

3. 数値計算の結果

1, 2 節では、Taylor 展開に基づく評価を行ったが、本節では、実際の数値計算で、フィルターを厳密に課した上で、Leonard 項を評価してみる。

考える流れ場は、2 節で述べた平行平板間の 3 次元乱流場である。計算スキームの詳細は、Horiuti⁴⁾を参照されたい。ただし、ここでは、 x, y 方向に、フーリエ変換をしていることを利用し、フーリエ空間で、非線形項に (10) 式をかけることにより、この 2 方向には、filtering を厳密に評価している。ただし、 z 方向では、2 節で述べた中心差分を用いることにより、Leonard 項を近似している。

計算は、格子点数を、 $NX = NY = 16, NZ = 21$ とした Case 1 と、 $NX = NY = 64, NZ = 61$ とした Case 2 の 2 つの場合を行った。

図 1 は、Case 1 の $t = 22.0$ における cascade 項の x 方向 ($i = 1$) 成分の、 $z = 0.045$ における $x-y$ 平面での瞬間的な空間分布を示す等高線である。値が正の部分は実線、負の部分は破線でプロットしてあるが、ほとんどの部分で負となっており、dissipation として働いていることがわかる。総和をとった Cascade 項 ((13) 式の右辺第 6 項) の z 方向の分布の壁付近の拡大図は、図 2 に示されているが、アンサンブル・アベレジをとっても、やはり負となっている。

図 3(a) は、Case 2 の GS エネルギー・バランス ((13) 式) を図 3(b) は、その Cascade 項のみの z 方向の分布を示す。GS のエネルギー・バランスの特徴として、壁の近くで、diffusion と dissipation が大きな値を持っていることがわかるが、cascade 項も負の値を示しており、dissipation として効いている。また、その値も他の量にくらべ、無視できない大きさをとっている。

4. おわりに

LES における filtering によって生じる Leonard 項について調べ、エネルギーの cascade としての役割を確かめた。したがって、LES においては、

- (i) 可能で容易な場合には、 $\frac{\partial}{\partial x_j} \overline{u_i u_j}$ の項を厳密に計算する
- (ii) 不可能もしくは、計算上困難な場合には、保存形の中心差分により近似するか、もしくは、4 次以上の精度のスキームを用い、Taylor 展開により求めた (12) 式の項を explicit に付加するのが望ましいと思われる。

なお、1 節の (12) 式、2 節の (14) 式については、ここでは、大ざっぱな議論により、Skewness との関係について、数値計算によって確かめたが、A. Leonard¹⁾ では、一様等方性乱流の下では、厳密に Skewness と関係づけられることが証明されている。

本研究には、東大大型計算機センターの S-810-20 を用いたが、その計算費用の一部には、本所選定研究費があてられたことを付記する。(1985 年 10 月 24 日受理)

参 考 文 献

- 1) A. Leonard (1974) : Adv Geophys., 18A, p. 237
- 2) 堀内潔 (1984) : 生産研究, 36 巻 12 号, p. 7
- 3) B. P. Leonard (1978) : Appl. Math. Modelling, Vol. 2, P. 59
- 4) K. Horiuti (1985) : J. Phys. Soc. Japan, Vol. 54, P. 2855